

การประชุมวิชาการเครือข่ายวิศวกรรมเครื่องกลแห่งประเทศไทยครั้งที่ 14
2-3 พฤษภาคม 2543 โรงแรม โนโวเทล เชียงใหม่

มุ่มบ่าที่เหมาะสมของหัวพั๊ช

A Suitable Taper Angle of Punch Head

ศิริศักดิ์ หานยชูวงศ์ ธนา จุยฉาย และ ร.ท. สมญา ภูนาภยา

ศูนย์วิจัยวิศวกรรมคำนวณขั้นสูง(ศศส.)

สถาบันเทคโนโลยีพระจอมเกล้าฯ พระนครเหนือ

1518 ถนนพิบูลสงคราม เขตดุสิต กรุงเทพฯ 10800

โทร (02)9132500 ต่อ 8531, โทรสาร (02)5870026, E-mail : shw@kmitnb.ac.th

Sirisak Harnchoowong, Thanu Chouychai and Lt.JG.Somya Poonaya

Research centre of Advanced Computational Engineering(RACE)

King Mongkut's Institute of Technology North Bangkok

1518 Piboolsongkram Rd., Dusit, Bangkok 10800

Tel : (02)9132500 Ext. 8531, Fax : 5870026, E-mail : shw@kmitnb.ac.th

บทคัดย่อ

พั๊ชแบบธรรมชาติที่ใช้กันอยู่ทั่วไป เมื่อใช้งานไปได้ระยะเวลานาน จะเกิดรอยแตกร้าวขึ้นที่บริเวณรอยต่อระหว่างหัวพั๊ชกับลำตัวพั๊ช[1] การแตกร้าวนี้เป็นผลของความเสียหายสะสมที่เกิดจากคลื่นความเด่นจากการตัดเจาะโลหะแผ่นแต่ละครั้ง การเพิ่มมุ่มบ่าที่เหมาะสมบริเวณรอยต่อดังกล่าวสามารถยืดอายุการใช้งานของพั๊ชได้ จากการวิเคราะห์ด้วยวิธีเชิงตัวเลขพบว่า มุ่มบ่าของพั๊ชมีผลกระทบต่อกำลังถ่วงชาติของการสั่นสะเทือนในแนวแกนพั๊ชน้อยมาก แสดงว่ามุ่มบ่าของพั๊机会มีผลกระทบต่อกำลังถ่วงหนาแนบบริเวณรอยต่อแต่เพียงอย่างเดียว และจากการวิเคราะห์โมเดล พนบว่า ค่าอัตราส่วนของการหน่วงของวัสดุพั๊ชที่ความถี่ธรรมชาติหลักมูล 11.65 kHz มีค่าเท่ากับ 0.00155 เมื่อนำไปใช้คำนวณหาขนาดของความเค้นแล้ววิเคราะห์อายุการใช้งานของพั๊ชตามกฎของไมเนอร์ที่ค่ามุ่มบ่า $5^\circ, 10^\circ, 15^\circ, 20^\circ, 25^\circ, 30^\circ, 35^\circ, 40^\circ$ และค่าความแข็งแรงสูงสุดของพั๊ช 2200, 2400, 2600, 2800 MPa พนบว่า มุ่มบ่าที่ให้อายุการใช้งานยาวนานที่สุดคือ มุ่มบ่า 15°

Abstract

A crack usually initiates at the discontinuous section between punch head and punch body [1] after a conventional punch has been operated in punching process for a period of time. The crack propagation defined specifically as fatigue fracture is a form of cumulative damage caused by longitudinal stress wave during each punching operation. To gain a longer fatigue life, a suitable taper (shoulder) angle must be included at the discontinuous section. It is shown by numerical analysis that taper angle of punch head has negligible effect on punch natural frequencies. This means that taper angle has the only effect on stress concentration factor at punch shoulder. By modal analysis, it is found that damping ratio of punch material at its fundamental frequency of 11.65 kHz is equal to 0.00155. According to the calculation by making use of Minor rule for punch fatigue lives at the taper angles of $5^\circ, 10^\circ, 15^\circ, 20^\circ, 25^\circ$,

$30^\circ, 35^\circ, 40^\circ$ and the punch material having ultimate strengths of 2200, 2400, 2600, 2800 MPa, it is found that the greatest fatigue life occurs at the taper angle of 15° .

1. บทนำ

การออกแบบพื้นชี้ให้มีอายุการใช้งานยาวนานขึ้นอยู่กับตัวแปร 2 ประจักษ์ คือ ตัวแปรออกแบบ และ ตัวแปรทำงาน ตัวแปรออกแบบได้แก่ ขนาด รูปร่าง และวัสดุ ส่วนตัวแปรทำงานได้แก่ ลักษณะการยึดจับ และ ภาระที่กระทำต่อพื้นช์ ในปัจจุบัน ตัวแปรหลักๆ ตัว เช่น วัสดุ ขนาด ลักษณะการยึดจับ และ ภาระ เป็นตัวแปรที่ถูกกำหนดโดยมาตรฐาน บางที่จะเปลี่ยนแปลง ตัวแปรที่พอจะเปลี่ยนแปลงได้โดยที่ไม่ทำให้ขนาดมาตรฐานของพื้นช์เปลี่ยนไปก็คือ รูปร่าง ซึ่งการเปลี่ยนแปลงรูปร่างของพื้นช์ในบทความนี้ก็คือ “การเพิ่มมุมบ่า” การเพิ่มมุมบ่าบริเวณรอยต่อระหว่างหัวพื้นช์กับลำตัวพื้นช์ยอมมีผลกระทบต่ออายุการใช้งานของพื้นช์

วิธีวิเคราะห์อายุการใช้งานของพื้นช์เริ่มจากการสมมติให้วัสดุพื้นช์เป็นวัสดุ viscoelastic มีคุณสมบัติไฮดรอริกและมีเนื้อ蛾พันธุ์ การตัดเจาะโลหะแผ่นแต่ละครั้งจะเป็นการให้เงื่อนไขเริ่มต้นแก่ระบบการสั่นสะเทือนในแนวแกนของพื้นช์ การสั่นสะเทือนนี้จะเกิดขึ้นชั่วระยะเวลาหนึ่งแล้วจะหยุด คลื่นความเค้นในระหว่างการสั่นสะเทือนทำให้เกิดความเสียหายสะสมขึ้นบริเวณบ่าพื้นช์ โดยอาศัยกฎของไมเนอร์ จะทำให้สามารถทำนายอายุการใช้งานของพื้นช์ที่มีมุมบ่าและความแข็งแรงสูงสุดค่าต่างๆ ได้

จุดประสงค์ของบทความนี้เพื่อที่จะหาค่าของมุมบ่าที่ให้อายุการใช้งานยาวนานที่สุด

2. ทฤษฎี

2.1 การสั่นสะเทือนในแนวแกนพื้นช์และคลื่นความเค้น

การสั่นสะเทือนของพื้นช์ที่ทำจากวัสดุ viscoelastic [2] ซึ่งมีแบบจำลองดังรูปที่ 1 displacement ที่ทำแนว x ณ เวลา t ได้จากสมการ:

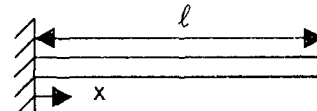
$$u(t) = -\frac{4\ell\varepsilon_o}{\pi} \sum_{n=1,3,5,\dots}^{\infty} \frac{1}{n} \sqrt{\frac{1}{1-\zeta_n^2}} \sin \frac{n\pi x}{2\ell} \left(e^{-\zeta_n \omega_n t} \sin(\sqrt{1-\zeta_n^2} \omega_n t + \phi_n) \right) \quad \dots\dots\dots(1)$$

$$\text{เมื่อ } \phi_n = \tan^{-1} \left(\frac{\sqrt{1-\zeta_n^2}}{\zeta_n} \right)$$

$$\varepsilon_o = \text{ความเครียดเริ่มต้นของพื้น} = -\left. \frac{\partial u}{\partial x} \right|_{t=0} \approx -\left. \frac{\Delta u}{\Delta x} \right|_{t=0}$$

$$\zeta_n = \text{อัตราส่วนความหน่วงแบบหนึ่งของวัสดุพื้นช์}$$

$$\omega_n = \text{ความถี่ธรรมชาติของพื้นช์}$$



รูปที่ 1 แบบจำลองของพื้นช์

ความเค้นเฉลี่ยที่บานช์ ($x=0$) ณ เวลา t ได้จาก

$$\sigma_o = E \frac{\partial u}{\partial x} + \frac{2\zeta E}{\omega} \frac{\partial^2 u}{\partial x \partial t}$$

$$\text{เมื่อ } E = \text{โมดูลัสความยืดหยุ่นของวัสดุพื้นช์}$$

ทำให้ได้ว่า

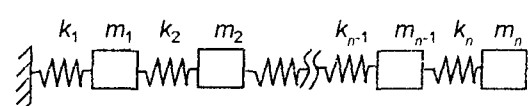
$$\sigma_o(t) = -\frac{4\ell\varepsilon_o E}{\pi \Delta x} \sum_{n=1,3,5,\dots}^{\infty} \frac{1}{n} \sqrt{\frac{1}{1-\zeta_n^2}} \sin \frac{n\pi \Delta x}{2\ell} \left(e^{-\zeta_n \omega_n t} \sin(\sqrt{1-\zeta_n^2} \omega_n t + \phi_n + \psi_n) \right) \quad \dots\dots\dots(2)$$

$$\text{เมื่อ } \psi_n = \tan^{-1} \left(\frac{2\zeta_n \sqrt{1-\zeta_n^2}}{1-2\zeta_n^2} \right)$$

2.2 การวิเคราะห์โมเดล

2.2.1 ความถี่ธรรมชาติของพื้นช์

พื้นช์ที่มีพื้นที่หน้าตัด A บาน l วัสดุมีความหนาแน่น ρ สามารถหาความถี่ธรรมชาติได้โดยวิธี lumped parameter [5] โดยการแบ่งพื้นช์ตามแนวยาวออกเป็น n ส่วนเท่าๆ กัน ซึ่งมีแบบจำลองดังรูปที่ 2



รูปที่ 2 แบบจำลองของพื้นช์โดยวิธี lumped parameter

ค่าต่างๆ ในรูปที่ 2 มีค่าดังนี้

2.3 ความเค้นสูงสุด

$$m_i = \rho A \left(\frac{\ell}{n} \right) \quad i = 1, 2, \dots, n - 1$$

$$m_n = \frac{\rho A}{2} \left(\frac{\ell}{n} \right)$$

$$k_i = \frac{nAE}{\ell} \quad i = 1, 2, \dots, n$$

ความถี่ธรรมชาติของการสั่นสะเทือนของแบบจำลองในรูปที่ 2 หาได้จากการ ก ของสมการแสดงลักษณะสมบัติ

$$|m^{-1}k - \lambda I| = 0 \quad \dots \dots \dots (3)$$

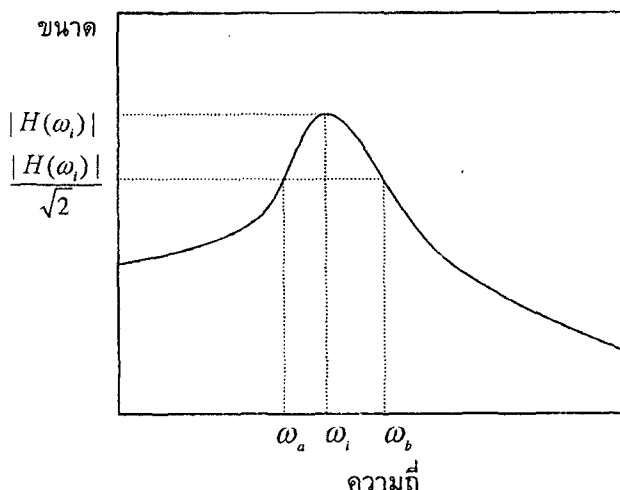
ความถี่ธรรมชาติของฐานนิยม / มีค่าเท่ากับ

$$f_i = \frac{\sqrt{\lambda_i}}{2\pi} \quad \dots \dots \dots (4)$$

2.2.2 อัตราส่วนความหน่วงของวัสดุ viscoelastic

อัตราส่วนความหน่วงของวัสดุ viscoelastic หาได้จากการทดสอบโดยมีตัวอย่าง [6] โดยวัดค่าต่างๆจากฟังก์ชันถ่ายโอนแสดงในรูปที่ 3 และใช้สมการ

$$\zeta_i = \frac{(\omega_i^2 + \omega_a \omega_b)(\omega_b - \omega_a)}{4\omega_i \omega_a \omega_b} \quad \dots \dots \dots (5)$$



รูปที่ 3 ฟังก์ชันถ่ายโอนในฐานนิยมที่ต้องการพิจารณา

ค่าความเค้นสูงสุดของพื้นที่ที่มีมุ่งบ่าดังรูปที่ 4 หาได้จาก

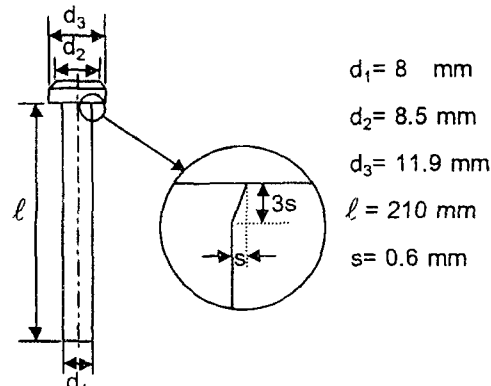
$$\sigma_{max} = K_f \sigma_{nom} \quad \dots \dots \dots (6)$$

เมื่อ σ_{nom} = ค่าความเค้นเฉลี่ยหาได้จากสมการ (2)

K_f = ค่าความเค้นหนาแน่นของการล้า

$$= 1 + q(K_i - 1)$$

โดยที่ q เป็นค่าความไวของร่อง และ K_i เป็นค่าความเค้นหนาแน่นทางถูกปฏิวัติในกรณีของบ่าพื้นที่ผิวไม่มีร่องซึ่ง $q = 1$ ทำให้ $K_f = K_i$



รูปที่ 4 พื้นที่ใช้ในการวิเคราะห์

จากการวิเคราะห์ด้วยโปรแกรมไฟฟ์ในต่อเลิเมนต์สำเร็จรูป ANSYS โดยพิจารณาพื้นที่เป็นแบบสมมาตรรอบแกน จะได้ค่าความเค้นหนาแน่นที่มุ่งบ่าต่างๆดังแสดงในตารางที่ 1

ตารางที่ 1

| มุ่งบ่าพื้นที่ (ยง/ศา) | ค่าความเค้นหนาแน่น K_f |
|------------------------|--------------------------|
| 5 | 1.687 |
| 10 | 1.609 |
| 15 | 1.545 |
| 20 | 1.984 |
| 25 | 2.134 |
| 30 | 2.853 |
| 35 | 3.342 |
| 40 | 3.611 |

2.4 พิกัดความล้าของวัสดุ

พิกัดความล้าของวัสดุพันธ์หาได้จาก

$$S_n = S_n' C_L C_g C_s \quad \dots \dots \dots (7)$$

เมื่อ S_n' = พิกัดความล้าของชั้นทดสอบมาตรฐานของมาร์ค

C_L = ตัวประกอบการ

C_g = ตัวประกอบขนาด

C_s = ตัวประกอบผิว

2.5 ความเสียหายสะสม

เมื่อพันธ์เจาะโลหะแผ่นแต่ละครั้ง จะเกิดคลื่นความเดี้ยนในแนวแกน คลื่นความเดี้ยนนี้จะทำให้เกิดความเสียหายสะสมขึ้นถ้าขนาดของคลื่นความเดี้ยนสูงสุดที่บวีวนบ่าพันธ์มีค่าสูงกว่าพิกัดความล้าที่คำนวณได้จากสมการ (7) นั้นคือ

$$\sigma_{\max} > S_n$$

แต่ขนาดของคลื่นความเดี้ยนนี้จะลดลงเรื่อยๆจนหมดไปในที่สุด ความเสียหายเนื่องจากการล้าเป็นไปตามกฎของไมเนอร์ [7] คือพันธ์จะเกิดการแตกหักเมื่อค่าความเสียหายสะสมรวมมีค่าเท่ากับหนึ่ง นั้นคือ

$$\sum \frac{n_i}{N_i} = 1 \quad \dots \dots \dots (8)$$

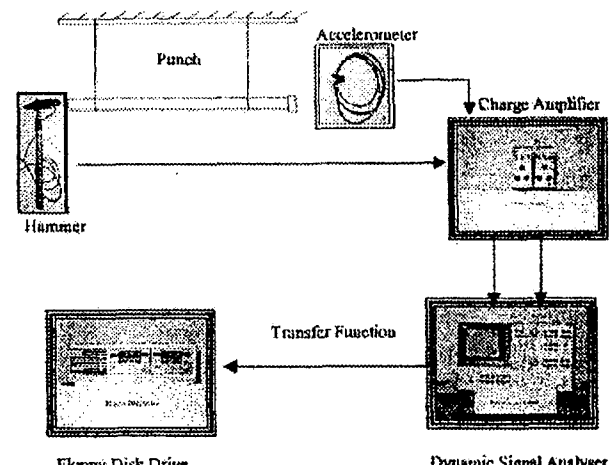
เมื่อ n_i = จำนวนรอบของความเดี้ยนที่มีขนาด σ_i

N_i = อายุความล้าเนื่องจากความเดี้ยน σ_i

3. การทดลอง

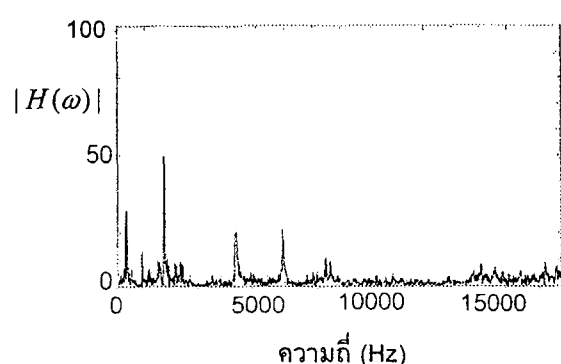
เมื่อนำพันธ์จริงไปทำการทดสอบโมดูลโดยการแขวนให้ลอยอยู่อย่างอิสระในแนวระดับ ติด accelerometer ที่หัวพันธ์แล้วใช้ค้อนเคาะที่ปลายพันธ์ในแนวแกน สัญญาณ output จาก accelerometer และสัญญาณ input จากค้อนจะถูกป้อนเข้าระบบวิเคราะห์สัญญาณดังรูปที่ 5 ผลปรากฏว่า accelerometer ที่มีอยู่มีความไวไม่สูงพอที่จะตรวจจับการสั่นสะเทือนที่หัวพันธ์ได้ การแก้ไขปัญหานี้กระทำการตั้งข้อสมมติฐานว่า “วัสดุที่มีคุณสมบัติไฮดรอกิปและมีเนื้อสัมภ์เสมอ ไม่ว่าจะเกิดการสั่นสะเทือนในทิศทางใด(ตามแนว

แกนหรือขวางกับแนวแกน)ย่อมมีค่าอัตราส่วนความหน่วงเท่ากัน” จากนั้นจึงทำการทดสอบโมดูลโดยใช้ค้อนที่มีวัสดุเดียวกับพันธ์แทนคันที่ใช้มีขนาดภาคตัด 30 mm x 4.5 mm และมีความยาว 210 mm ที่ความยาวนี้จะทำให้การสั่นเทือนตามแนวขวางของคันในฐานนิยมที่ 8 มีค่าตรงกับความถี่ธรรมชาติหลักมูลของพันธ์พอ

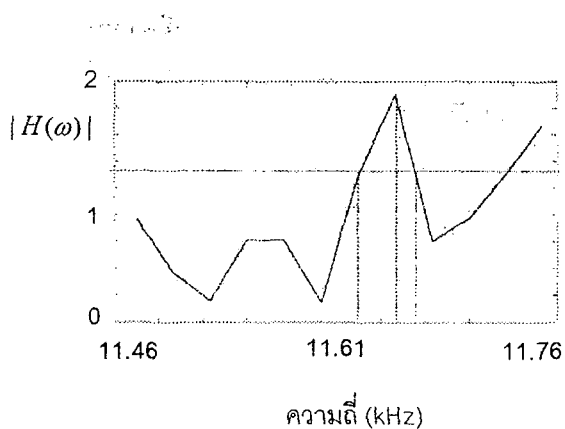


รูปที่ 5 อุปกรณ์การทดสอบวิเคราะห์โมดูล

ผลจากการทดลอง ได้พังก์ชันถ่ายโอนดังรูปที่ 6 และ 7 ซึ่งเมื่อคำนวณโดยใช้สมการ (5) จะได้ค่าอัตราส่วนความหน่วงในฐานนิยมที่ 8 ของคัน (ตรงกับฐานนิยมหลักมูลของพันธ์) เท่ากับ 0.00155 สำหรับความถี่ธรรมชาติของพันธ์ในฐานนิยมตั้งแต่ 2 ขึ้นไป ไม่สามารถวัดสัญญาณได้เนื่องจากความถี่ยิ่งสูง ค่าอัตราส่วนความหน่วงยิ่งสูงตาม[3], [4],[5] ทำให้คลื่นความเดี้ยนหายไปเร็วมากจนวัดไม่ได้



รูปที่ 6 พังก์ชันถ่ายโอนของคัน



รูปที่ 7 ภาพขยายพังก์ชันถ่ายโอนบริเวณฐานนิยมที่ 8

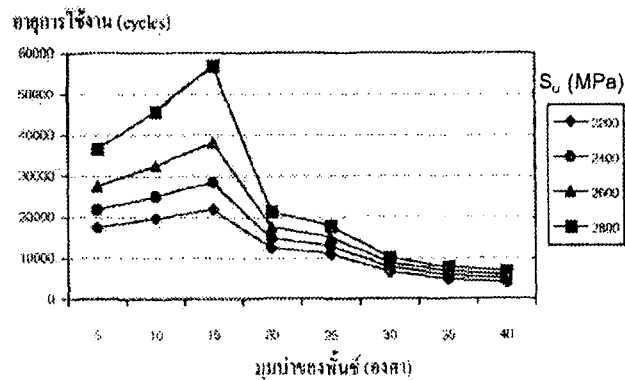
4. ผลลัพธ์เชิงตัวเลข

การคำนวณเชิงตัวเลขเพื่อหาค่าความถี่ธรรมชาติ เลือกใช้พั้นช์มาตรฐานของเยอรมันคือ DIN 9844 Type A ขนาดเส้นผ่านศูนย์กลาง 8 mm วัสดุเป็นเหล็กเครื่องมือรอบสูงมีค่า $E = 200 \text{ GPa}$, $\rho = 7106 \text{ kg/m}^3$ เมื่อเกิดการสั่นสะเทือนในแนวแกน จะมีความถี่ธรรมชาติที่มุมบ่า $5^\circ, 10^\circ, 15^\circ, 20^\circ, 25^\circ, 30^\circ, 35^\circ, 40^\circ$ ดังแสดงในตารางที่ 2

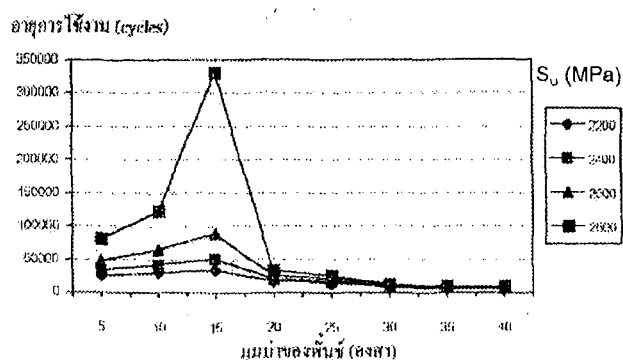
ตารางที่ 2

| มุมบ่าพั้นช์(องศา) | ความถี่ธรรมชาติ(kHz) | | | |
|--------------------|----------------------|--------|--------|--------|
| | Mode 1 | Mode 2 | Mode 3 | Mode 4 |
| 5 | 11.76 | 35.25 | 58.66 | 81.96 |
| 10 | 11.69 | 35.07 | 58.09 | 81.63 |
| 15 | 11.67 | 35.00 | 58.28 | 81.48 |
| 20 | 11.66 | 34.97 | 58.23 | 81.40 |
| 25 | 11.66 | 34.95 | 58.20 | 81.35 |
| 30 | 11.65 | 34.94 | 58.17 | 81.32 |
| 35 | 11.65 | 34.93 | 58.15 | 81.30 |
| 40 | 11.65 | 34.92 | 58.14 | 81.27 |

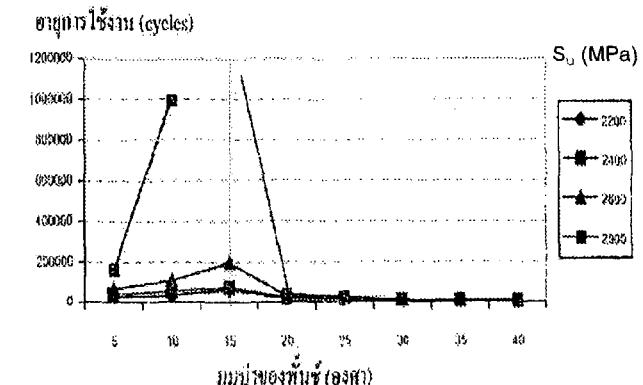
จากการเลือกวัสดุโลหะแผ่นเป็นอะลูมิเนียมหนา 4.5 mm ซึ่งอะลูมิเนียมมีความแข็งแรงสูงสุดในการรับแรงเฉือน 80 MPa และวัสดุพั้นช์เป็นเหล็กเครื่องมือรอบสูงมีความแข็งแรงสูงในการรับแรงดึงระหว่าง 2200 ถึง 2800 MPa อายุความล้าของพั้นช์คำนวณโดยใช้กฎของไมเนอร์ได้ผลลัพธ์ดังแสดงในรูปที่ 8, 9 และ 10



รูปที่ 8 ผลกระทบของมุมบ่าต่ออายุการใช้งานของพั้นช์ ขนาด 7 mm



รูปที่ 9 ผลกระทบของมุมบ่าต่ออายุการใช้งานของพั้นช์ ขนาด 8 mm



รูปที่ 10 ผลกระทบของมุมบ่าต่ออายุการใช้งานของพั้นช์ ขนาด 8.5 mm

5. สรุปและวิจารณ์ผล

จากผลลัพธ์เชิงตัวเลขในตารางที่ 1 และ 2 และกราฟในรูปที่ 8, 9, 10 สรุปได้ดังนี้

- 1) ความถี่ธรรมชาติของพื้นช์ที่มีมุมบ่าตั้งแต่ 5° ถึง 40° ในแต่ละฐานนิยมมีค่าใกล้เคียงกันมาก แสดงว่ามุมบ่าไม่มีผลผลกระทบต่อความถี่ธรรมชาติของพื้นช์ มีเพียงผลผลกระทบต่อค่าความเค้นหนาแน่นอย่างเดียว โดยมีค่าสุดอยู่ที่มุมบ่า 15°
- 2) พิจารณาผลผลกระทบเนื่องจากขนาดของพื้นช์ พบว่า เมื่อพื้นช์มีขนาดโตขึ้น อาบุการใช้งานจะยาวนานขึ้น
- 3) พิจารณาผลผลกระทบเนื่องจากความแข็งแรงสูงสุดของวัสดุพื้นช์ พบว่า ยิ่งพื้นช์มีความแข็งแรงสูงขึ้น อาบุการใช้งานยิ่งยาวนานขึ้น
- 4) พิจารณาผลผลกระทบเนื่องจากมุมบ่า พบว่า ทุกขนาดของพื้นช์และทุกค่าความแข็งแรงของพื้นช์ มุมบ่าที่ให้อายุการใช้งานยาวนานที่สุดอยู่ที่มุมบ่า 15° ซึ่งเป็นมุมบ่าที่มีค่าความเค้นหนาแน่นน้อยที่สุด

เอกสารอ้างอิง

- [1] L. Crainich, "Broken Heads of Punches", Metal Forming, Vol.29, No. 3, Mar 1995, p. 62.
- [2] M.L. James, G.M. Smith and P.W. Whaley, Vibration of Mechanical and Structural Systems with Microcomputer Applications, 2nd edition, Harper Collins College Publishers, New York, 1994, pp. 600-604.
- [3] B.J. Inman, Engineering Vibration, Prentice Hall, New Jersey, 1994, pp. 271-276.
- [4] C.T. Sun and Y.P. Lu, Vibration Damping of Structural Elements, Prentice Hall PTR, New Jersey, 1995, pp. 8-29.
- [5] A. Dimarogonas, Vibration for Engineers, 2nd edition, Prentice Hall, Inc., 1996, pp. 426-429.
- [6] D.J. Ewin, Modal Testing: Theory and Practice, Hert Fordshire Research Studies Press, 1984, pp. 158-165.
- [7] R.C. Juvinal and K.M. Marshek, Fundamentals of Machine Component Design, 2nd edition, John Wiley & Sons, New York, 1991.